

# Starkniederschlagshöhen und -spenden gemäß KOSTRA-DWD-2020

## Rasterfeld 125190

(Zeile 125, Spalte 190)

### Regenspende und Bemessungsniederschlagswerte in Abhängigkeit von Wiederkehrzeit T und Dauerstufe D

| Dauerstufe D |     | Wiederkehrzeit T |            |      |            |      |            |      |            |      |            |       |            |       |            |       |            |       |            |
|--------------|-----|------------------|------------|------|------------|------|------------|------|------------|------|------------|-------|------------|-------|------------|-------|------------|-------|------------|
|              |     | 1 a              |            | 2 a  |            | 3 a  |            | 5 a  |            | 10 a |            | 20 a  |            | 30 a  |            | 50 a  |            | 100 a |            |
| min          | Std | mm               | l / (s ha) | mm   | l / (s ha) | mm   | l / (s ha) | mm   | l / (s ha) | mm   | l / (s ha) | mm    | l / (s ha) | mm    | l / (s ha) | mm    | l / (s ha) | mm    | l / (s ha) |
| 5            |     | 7,7              | 256,7      | 9,8  | 326,7      | 11,1 | 370,0      | 12,8 | 426,7      | 15,2 | 506,7      | 17,7  | 590,0      | 19,3  | 643,3      | 21,5  | 716,7      | 24,6  | 820,0      |
| 10           |     | 9,9              | 165,0      | 12,5 | 208,3      | 14,2 | 236,7      | 16,3 | 271,7      | 19,4 | 323,3      | 22,6  | 376,7      | 24,7  | 411,7      | 27,4  | 456,7      | 31,4  | 523,3      |
| 15           |     | 11,1             | 123,3      | 14,1 | 156,7      | 16,0 | 177,8      | 18,4 | 204,4      | 21,9 | 243,3      | 25,5  | 283,3      | 27,9  | 310,0      | 31,0  | 344,4      | 35,4  | 393,3      |
| 20           |     | 12,0             | 100,0      | 15,3 | 127,5      | 17,3 | 144,2      | 19,9 | 165,8      | 23,7 | 197,5      | 27,6  | 230,0      | 30,1  | 250,8      | 33,5  | 279,2      | 38,3  | 319,2      |
| 30           |     | 13,3             | 73,9       | 16,9 | 93,9       | 19,1 | 106,1      | 22,0 | 122,2      | 26,2 | 145,6      | 30,6  | 170,0      | 33,4  | 185,6      | 37,1  | 206,1      | 42,4  | 235,6      |
| 45           |     | 14,7             | 54,4       | 18,6 | 68,9       | 21,1 | 78,1       | 24,3 | 90,0       | 28,9 | 107,0      | 33,6  | 124,4      | 36,8  | 136,3      | 40,8  | 151,1      | 46,7  | 173,0      |
| 60           | 1   | 15,7             | 43,6       | 19,9 | 55,3       | 22,5 | 62,5       | 25,9 | 71,9       | 30,8 | 85,6       | 35,9  | 99,7       | 39,2  | 108,9      | 43,6  | 121,1      | 49,8  | 138,3      |
| 90           | 1,5 | 17,2             | 31,9       | 21,7 | 40,2       | 24,6 | 45,6       | 28,3 | 52,4       | 33,7 | 62,4       | 39,3  | 72,8       | 42,9  | 79,4       | 47,7  | 88,3       | 54,5  | 100,9      |
| 120          | 2   | 18,2             | 25,3       | 23,1 | 32,1       | 26,2 | 36,4       | 30,1 | 41,8       | 35,9 | 49,9       | 41,8  | 58,1       | 45,6  | 63,3       | 50,7  | 70,4       | 58,0  | 80,6       |
| 180          | 3   | 19,9             | 18,4       | 25,2 | 23,3       | 28,5 | 26,4       | 32,8 | 30,4       | 39,1 | 36,2       | 45,5  | 42,1       | 49,7  | 46,0       | 55,2  | 51,1       | 63,2  | 58,5       |
| 240          | 4   | 21,1             | 14,7       | 26,8 | 18,6       | 30,3 | 21,0       | 34,9 | 24,2       | 41,5 | 28,8       | 48,3  | 33,5       | 52,8  | 36,7       | 58,7  | 40,8       | 67,1  | 46,6       |
| 360          | 6   | 23,0             | 10,6       | 29,1 | 13,5       | 32,9 | 15,2       | 37,9 | 17,5       | 45,1 | 20,9       | 52,6  | 24,4       | 57,4  | 26,6       | 63,8  | 29,5       | 73,0  | 33,8       |
| 540          | 9   | 25,0             | 7,7        | 31,7 | 9,8        | 35,8 | 11,0       | 41,2 | 12,7       | 49,1 | 15,2       | 57,1  | 17,6       | 62,4  | 19,3       | 69,4  | 21,4       | 79,3  | 24,5       |
| 720          | 12  | 26,5             | 6,1        | 33,6 | 7,8        | 38,0 | 8,8        | 43,7 | 10,1       | 52,0 | 12,0       | 60,6  | 14,0       | 66,2  | 15,3       | 73,6  | 17,0       | 84,1  | 19,5       |
| 1080         | 18  | 28,8             | 4,4        | 36,5 | 5,6        | 41,2 | 6,4        | 47,5 | 7,3        | 56,5 | 8,7        | 65,8  | 10,2       | 71,9  | 11,1       | 79,9  | 12,3       | 91,4  | 14,1       |
| 1440         | 24  | 30,5             | 3,5        | 38,7 | 4,5        | 43,7 | 5,1        | 50,4 | 5,8        | 59,9 | 6,9        | 69,8  | 8,1        | 76,3  | 8,8        | 84,8  | 9,8        | 96,9  | 11,2       |
| 2880         | 48  | 35,1             | 2,0        | 44,5 | 2,6        | 50,4 | 2,9        | 58,0 | 3,4        | 69,0 | 4,0        | 80,4  | 4,7        | 87,8  | 5,1        | 97,6  | 5,6        | 111,6 | 6,5        |
| 4320         | 72  | 38,1             | 1,5        | 48,4 | 1,9        | 54,7 | 2,1        | 63,0 | 2,4        | 75,0 | 2,9        | 87,3  | 3,4        | 95,4  | 3,7        | 106,0 | 4,1        | 121,1 | 4,7        |
| 5760         | 96  | 40,4             | 1,2        | 51,3 | 1,5        | 58,0 | 1,7        | 66,8 | 1,9        | 79,5 | 2,3        | 92,6  | 2,7        | 101,1 | 2,9        | 112,3 | 3,2        | 128,4 | 3,7        |
| 7200         | 120 | 42,3             | 1,0        | 53,6 | 1,2        | 60,7 | 1,4        | 69,9 | 1,6        | 83,1 | 1,9        | 96,8  | 2,2        | 105,8 | 2,4        | 117,5 | 2,7        | 134,4 | 3,1        |
| 8640         | 144 | 43,9             | 0,8        | 55,7 | 1,1        | 62,9 | 1,2        | 72,5 | 1,4        | 86,3 | 1,7        | 100,5 | 1,9        | 109,8 | 2,1        | 122,0 | 2,4        | 139,5 | 2,7        |
| 10080        | 168 | 45,3             | 0,7        | 57,4 | 0,9        | 64,9 | 1,1        | 74,8 | 1,2        | 89,0 | 1,5        | 103,7 | 1,7        | 113,3 | 1,9        | 125,9 | 2,1        | 143,9 | 2,4        |

# Starkniederschlagshöhen und -spenden gemäß KOSTRA-DWD-2020

## Rasterfeld 125190

(Zeile 125, Spalte 190)

### Örtliche Unsicherheiten in Abhängigkeit von Wiederkehrzeit T und Dauerstufe D

| Dauerstufe D |     | Wiederkehrzeit T |     |     |     |      |      |      |      |       |
|--------------|-----|------------------|-----|-----|-----|------|------|------|------|-------|
|              |     | 1 a              | 2 a | 3 a | 5 a | 10 a | 20 a | 30 a | 50 a | 100 a |
| min          | Std | ± %              | ± % | ± % | ± % | ± %  | ± %  | ± %  | ± %  | ± %   |
| 5            |     | 13               | 12  | 12  | 12  | 12   | 13   | 13   | 13   | 13    |
| 10           |     | 11               | 13  | 14  | 15  | 16   | 17   | 17   | 18   | 18    |
| 15           |     | 13               | 16  | 17  | 18  | 19   | 20   | 20   | 21   | 21    |
| 20           |     | 15               | 17  | 18  | 19  | 21   | 22   | 22   | 22   | 23    |
| 30           |     | 17               | 19  | 20  | 21  | 22   | 23   | 24   | 24   | 25    |
| 45           |     | 18               | 20  | 21  | 22  | 24   | 25   | 25   | 26   | 26    |
| 60           | 1   | 18               | 20  | 21  | 23  | 24   | 25   | 25   | 26   | 27    |
| 90           | 1,5 | 18               | 20  | 22  | 23  | 24   | 25   | 26   | 26   | 27    |
| 120          | 2   | 18               | 20  | 21  | 23  | 24   | 25   | 25   | 26   | 27    |
| 180          | 3   | 17               | 20  | 21  | 22  | 23   | 24   | 25   | 25   | 26    |
| 240          | 4   | 17               | 19  | 20  | 22  | 23   | 24   | 24   | 25   | 26    |
| 360          | 6   | 16               | 19  | 20  | 21  | 22   | 23   | 24   | 24   | 25    |
| 540          | 9   | 16               | 18  | 19  | 20  | 21   | 22   | 23   | 23   | 24    |
| 720          | 12  | 15               | 18  | 19  | 20  | 21   | 22   | 22   | 23   | 23    |
| 1080         | 18  | 15               | 17  | 18  | 19  | 20   | 21   | 22   | 22   | 23    |
| 1440         | 24  | 15               | 17  | 18  | 19  | 20   | 21   | 21   | 22   | 22    |
| 2880         | 48  | 16               | 17  | 18  | 18  | 19   | 20   | 20   | 21   | 21    |
| 4320         | 72  | 16               | 17  | 18  | 18  | 19   | 20   | 20   | 21   | 21    |
| 5760         | 96  | 17               | 18  | 18  | 19  | 19   | 20   | 20   | 21   | 21    |
| 7200         | 120 | 17               | 18  | 18  | 19  | 19   | 20   | 20   | 21   | 21    |
| 8640         | 144 | 18               | 18  | 19  | 19  | 20   | 20   | 21   | 21   | 21    |
| 10080        | 168 | 18               | 19  | 19  | 19  | 20   | 20   | 21   | 21   | 21    |

### Parameter für abweichende T und D

#### Lokationsparameter $\xi$ (Xi)

16,03983344

#### Skalenparameter $\alpha$ (Alpha)

5,96980827

#### Formparameter $\kappa$ (Kappa)

-0,1

#### 1. Koutsoyiannis-Parameter $\theta$ (Theta)

0,02719526

#### 2. Koutsoyiannis-Parameter $\eta$ (Eta)

0,79721315

Parameter für dauerstufenübergreifende Extremwertschätzung nach KOUTSOYIANNIS et al. 1998.

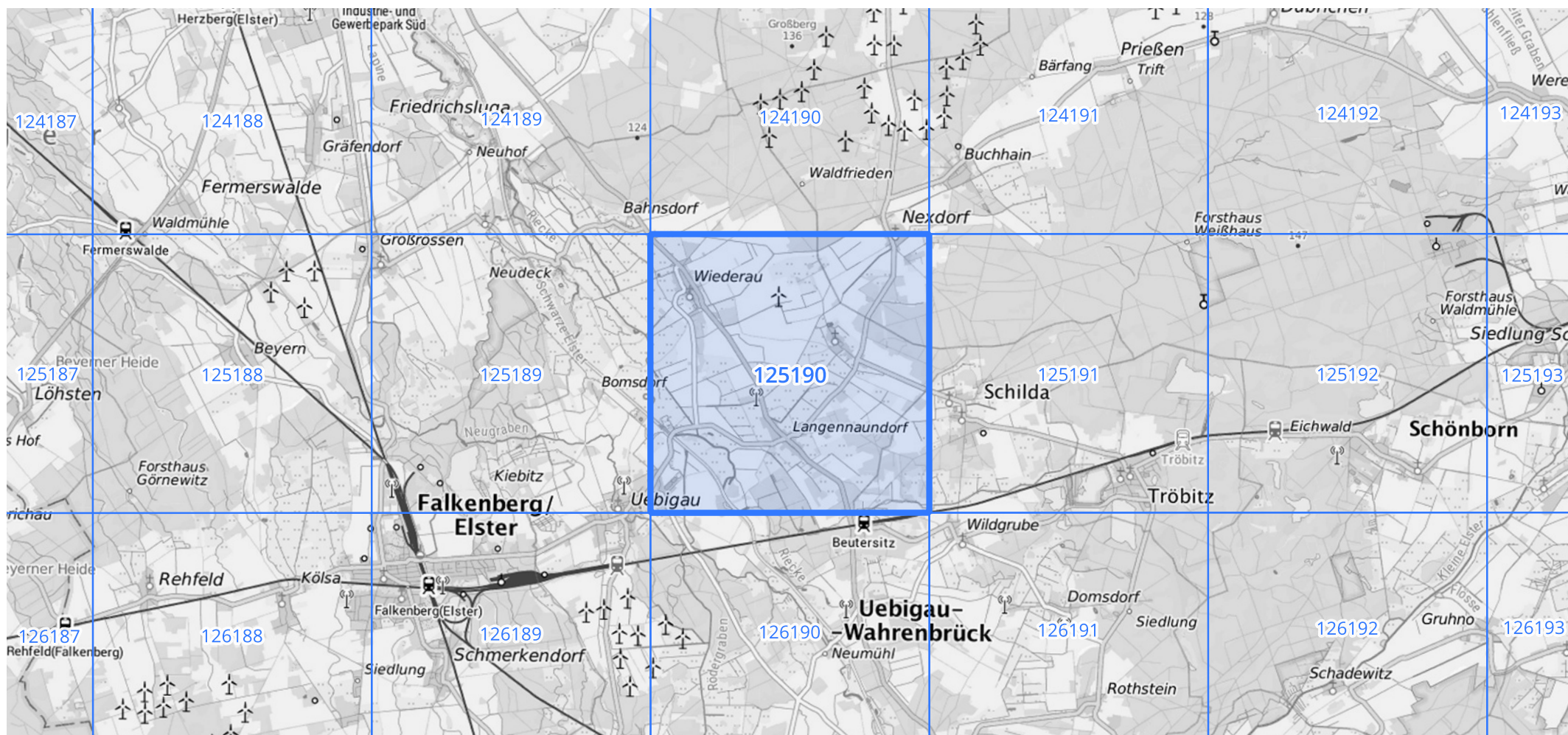
Siehe auch Anwendungshilfe zu KOSTRA-DWD-2020 des Deutschen Wetterdienstes.

# Starkniederschlagshöhen und -spenden gemäß KOSTRA-DWD-2020

## Rasterfeld 125190

(Zeile 125, Spalte 190)

### Übersichtskarte des Rasterfeldes 125190, M 1 : 100 000



Quelle Rasterdaten: KOSTRA-DWD-2020 des Deutschen Wetterdienstes, Stand 12/2022.

Seite 3 von 3

Kartendarstellung: © Bundesamt für Kartographie und Geodäsie (2023), Datenquellen: [https://sgx.geodatenzentrum.de/web\\_public/gdz/datenquellen/Datenquellen\\_TopPlusOpen.html](https://sgx.geodatenzentrum.de/web_public/gdz/datenquellen/Datenquellen_TopPlusOpen.html)

Für die Richtigkeit und Aktualität der Angaben wird keine Gewähr übernommen. Erstellt 01/2023.